

九州大学応用力学研究所 正員 中村泰治, ○吉村健

1. まえがき 橋梁吊材として使用されているH型吊材の耐風安定性、特に振りモードのフラッタを実験的に調べた。更に、矩形穴列を持つ箱型吊材を取り上げ、その耐風安定性を実験的に調べた。

2. 実験内容 H型吊材は1:1と1:2断面を、箱型吊材は1:1断面でその2面のみあるいは4面に矩形穴列を持つものを取り上げ、これまで次元模型で調べた(図-1)。H型吊材は振りモードだけ、箱型吊材はゆらぎ振りモードについて、減衰パラメータ $R_0 = \frac{2}{\rho h^2} \delta_0 = \frac{2}{\rho h^2} \delta_a$ ($\delta_a = \delta - \delta_0$) を求めた。

3. H型吊材 1:1, 1:2断面の各迎角における風速一定容曲線をとめて、それから図-2, 3に示す $\theta \geq 1^\circ$ に関する安定限界図を得る。(D)振りモード(1)これまでの迎角でも比較的広範囲の迎角で渦脚振れが発生する。更に、1:1断面の $\alpha = 35^\circ \sim 75^\circ$ 附近、および1:2断面の $\alpha = 10^\circ \sim \alpha = 30^\circ$ 附近では、高風速まで持続するフラッタが発生している。(従者のフラッタの発生機構は静的空力特性の関係については、文献^{(1)~(3)}を参照されたい。) 本題はこれら2つのフラッタが実構造で発生するか否かであるが、実構造では $R_0 = 2 \sim 12$ ($\delta_0 = 0.01 \sim 0.02$ として) 程度と考えられ、そのための振動振幅は $5\%H$ 前後とみはおり、実構造でもこれらのフラッタの発生を予想することができる。⁽⁴⁾ また、図-2, 3に示す $V = \frac{1}{2} V_{cr}$ 附近でのフラッタは、実構造で発生する程に危険な大きさではない。 $(V_{cr} = \frac{1}{2} V_{cr} - \text{ハルム})$

4. これまで箱型吊材 (1) 振りモード 実材1箱型断面と比較して4面穴のみ断面(図-1)の $\theta \geq 1^\circ$ に関する安定限界図を図-4に示す。4面に穴をあけることによって渦脚振れ発生に対する、高風速まで持続するフラッタについても、図-5とおもせかれて安定性が1.5~2倍程度向上している。また、安定性が最も弱い迎角($\alpha = 15^\circ \sim 20^\circ$)について、穴付1, 2面穴付2, 4面穴付3の各断面の $\bar{V} = R_0$ 曲線を示すと図-5のようになるが、2面に穴をあけただけでも良い安定性の向上が得られていく。ここで、実構造として4面穴のみ断面を使用した場合

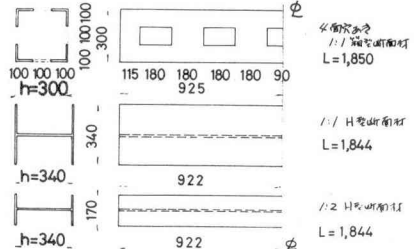


図-1. H型断面と箱型断面模型

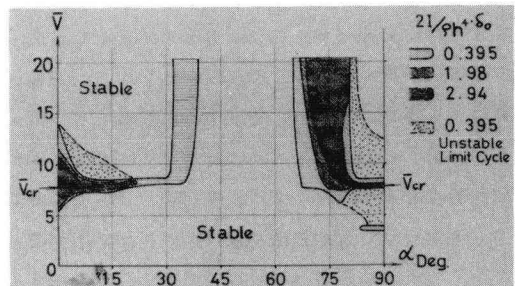


図-2. 1:1 H型断面材の振りモードの安定限界図

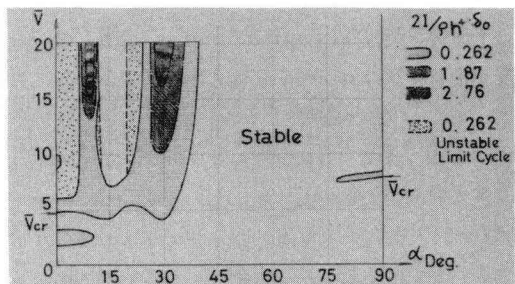


図-3. 1:2 H型断面材の振りモードの安定限界図

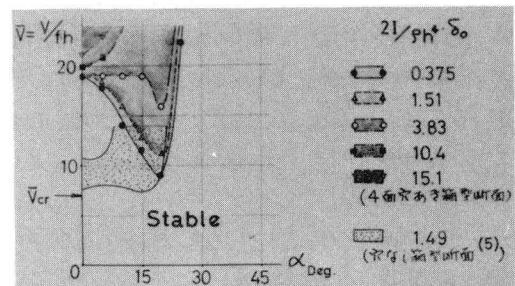


図-4. 4面穴あき箱型断面材の振りモードの安定限界図

$k_0 = 3 \sim 20$ ($\delta_0 = 0.01 \sim 0.02$ にて) 程度と考えられるので、フラッタが発生する最小風速 \bar{V}_{min} は約 15 であり、風速を上昇して強制風速では H 型断面材に比べて安定性が悪くなるといえます。(1:2 H 型断面材では $\bar{V}_{min} = 10$ 。) しかし何からか、この断面は角断面であるために、H 型断面材に比べると強制の固有振動数はかなり高く、強リードによって耐風性向上で問題はないように思われる。

(ii) 曲げモード 実験的断面と比較して 2 面あるとき 4 面ある断面の $\alpha = 0^\circ$ における $\bar{V}-ka$ 曲線を図-6 に示す。4 面ある断面では、実験的断面の $1/8$ 程度の空力干渉により強制振動が発生するだけである。次に、2 面ある断面の場合、風向直角方向で最も高い迎角 ($\alpha = 0^\circ$) では、強い振動振幅とオヤロビングが発生し、 $\alpha = 90^\circ$ では弱い振動振幅のみがみられる。次に、実験的断面と比較して 4 面ある断面の $\gamma/k = 0.05$ における安定限界図を図-7 に示す。図には示されていませんが、4 面ある断面の場合にすべての迎角でみられる振動振幅、 $\gamma/k = 0.05$ のときに $ka_{max} = 10 \sim 20$ である。これに対して、この断面を橋梁部材として使用した場合、 $k_0 = 13 \sim 20$ ($\delta_0 = 0.01 \sim 0.02$ にて) 程度と考えられ、両者を比較すると若干の改善が望ましい。山口にて実験を追加中である。

5. 総論 本研究にて次のこと事が明らかにされた。
すなはち、H 型断材は強リフラッタの原因からしても、耐風安定性に問題がある。山口にて、4 面に箱形断面を持つ H 型断面材は、実験的断面に比べると、曲げ・強リードモードに対しても耐風性が向上し、特に曲げモードに対して大きな向上がみられる。更に、この断面は H 型断面に比べると強制の固有振動数がかなり高いことを考慮すれば、橋梁部材として使用する場合、曲げ・強リードモードに対しては必ず良好な耐風安定性を持つ。以上のように思われる。

本研究を行なうにあたって、深野・瀧澤・杉谷の 3 様官の協力を受けた。改めて謝意を表す。

参考文献

- (1). 中村・溝田; 矩形断面の強リフラッタについて,
工木学会論文集, N.216, 1973.8
- (2). 中村・吉村; H 型断面材の強リフラッタについて,
工木学会論文収集即研究収集公論文集, J.48.2
- (3). 中村・溝田・吉村; 矩形および H 型断面材の静的
3 分力特性について, (2)を用いて。
- (4). 吉村・尾崎・水田; H 型断面橋梁部材の風に
よる振動の測定と風洞実験, 不講演題写集
- (5). Otsuki・Washizu et al; Proc. 3rd Int.
Conf. Wind Effects on Buildings and
Structures, 1971, TOKYO
- (6). Scrutton; Proc. 1st Int. Conf. Wind
Effects on Buildings and Structures,
1963, London
- (7). 成田・種江; 橋梁部材の耐風性, 道路, 1973.1

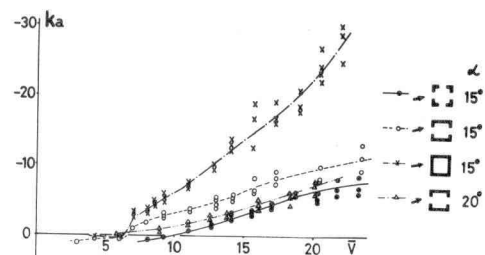


図-5. 矩形断面材の強リードの $\bar{V}-ka$ 曲線

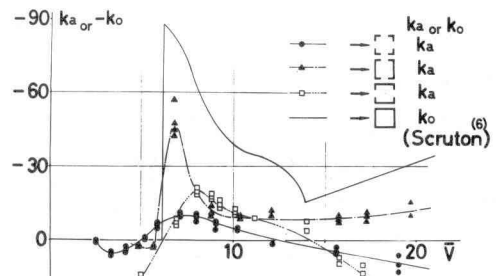


図-6. 箱型断面材の強リードの $\bar{V}-ka$ 曲線

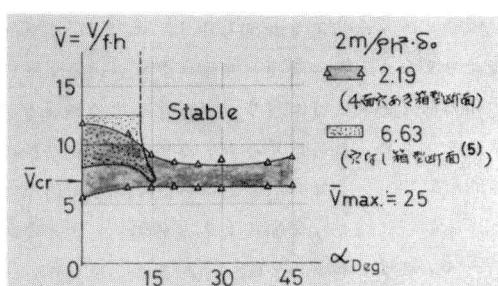


図-7. 4面六あき箱型断面材の
強リードの風に対する安定限界図。